

บทที่ 3

การตรวจจับสาร์มอนิกบันแกนดีคิวสำหรับวงจรกรองกำลังแอกทีฟแบบบนาณ

3.1 บทนำ

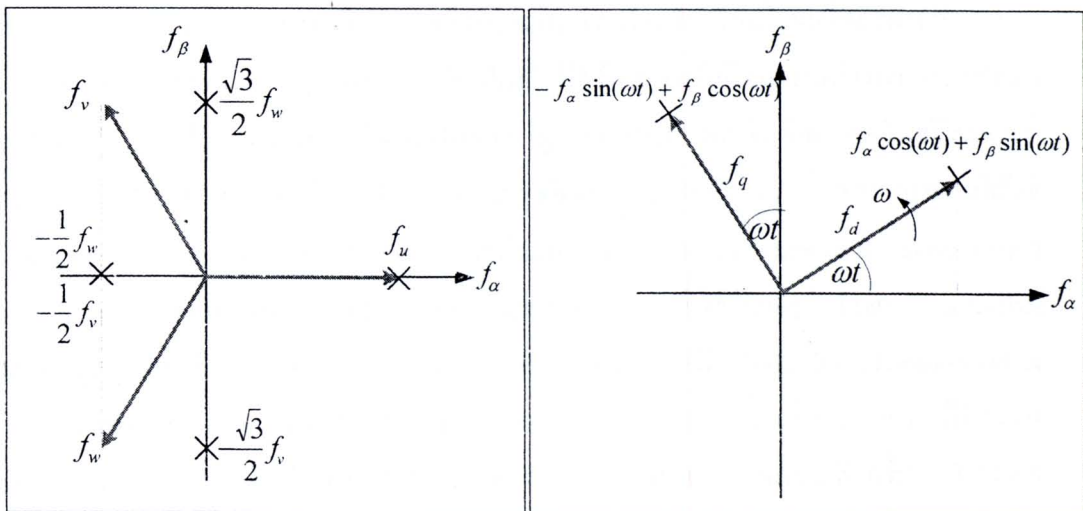
การตรวจจับสาร์มอนิกสำหรับวงจรกรองกำลังแอกทีฟแบบบนาณมีความสำคัญอย่างยิ่งต่อสมรรถนะการจำจัดสาร์มอนิกในระบบไฟฟ้า ในปัจจุบันวิธีการตรวจจับดังกล่าวมีอยู่หลายวิธี ซึ่งแต่ละวิธีมีข้อดี ข้อเสียที่แตกต่างกัน ขึ้นอยู่กับวัตถุประสงค์ของการนำไปใช้งาน ดังนั้น ในบทนี้ จึงได้นำเสนอวิธีการตรวจจับสาร์มอนิกที่พิจารณาบนแกนดีคิว ได้แก่ วิธีกรอบอ้างอิงซิงโครนัส (Synchronous Reference Frame) ซึ่งต่อไปจะเรียกว่า วิธี SRF (Takeda, Ikeda, Teramoto, and Aritsuka, 1988) และวิธีดีคิวเอฟ ต่อไปจะเรียกว่า วิธี DQF (Sujitjorn, Areerak, and Kulworawanichpong, 2007) เนื้อหาที่นำเสนอในบทนี้ประกอบด้วย ความรู้เบื้องต้นเกี่ยวกับปริมาณทางไฟฟ้านแกนดีคิว ขั้นตอนการตรวจจับสาร์มอนิกบันแกนดีคิว การทดสอบและปรับปรุงสมรรถนะเพื่อเพิ่มขีดความสามารถในการตรวจจับสาร์มอนิกให้ดีขึ้นในแต่ละวิธี โดยมีการเปรียบเทียบเพื่อเลือกวิธีการตรวจจับสาร์มอนิกบันแกนดีคิวที่เหมาะสมสำหรับใช้งานร่วมกับวงจรกรองกำลังแอกทีฟแบบบนาณ

3.2 ความรู้เบื้องต้นเกี่ยวกับปริมาณทางไฟฟ้านแกนดีคิว

การตรวจจับสาร์มอนิกบันแกนดีคิวใช้หลักการแปลงปริมาณทางไฟฟ้านแกนสามเฟส คือ f_u , f_v และ f_w เป็นปริมาณทางไฟฟ้านแกน $\alpha\beta$ คือ f_α และ f_β โดยใช้การแปลงเมตริกซ์ ดังสมการที่ (3-1) ทั้งนี้สมการดังกล่าวได้ถูกปรับคุณด้วยค่าสัมประสิทธิ์ เท่ากับ $\sqrt{\frac{2}{3}}$ เนื่องจากการแปลงปริมาณบนแกนสามเฟสไปอยู่บนแกน $\alpha\beta$ ได้คำนึงถึงกฎการอนุรักษ์กำลังงาน (power conserving convention) หลังจากนั้นจึงแปลงปริมาณบนแกน $\alpha\beta$ เป็นปริมาณบนแกนดีคิว คือ f_d และ f_q ด้วยเมตริกซ์ดังสมการที่ (3-2) จากสมการดังกล่าวค่า α คือ ความถี่เชิงมุม (เรเดียน/วินาที) ที่หมุนด้วยความเร็วตามการกำหนดของผู้วิจัย เพื่อให้สามารถระบุปริมาณสาร์มอนิกที่ความถี่ใด ๆ ได้ตามที่ออกแบบ จากขั้นตอนการแปลงปริมาณไฟฟ้าที่ได้กล่าวในข้างต้น เรียกว่า การแปลงของパーค (Park's Transformation) โดยมีแผนภาพแสดงการแปลงปริมาณต่าง ๆ ได้ดังรูปที่ 3.1

$$\begin{bmatrix} f_\alpha \\ f_\beta \end{bmatrix} = \sqrt{\frac{2}{3}} \begin{bmatrix} 1 & -\frac{1}{2} & -\frac{1}{2} \\ 0 & \frac{\sqrt{3}}{2} & -\frac{\sqrt{3}}{2} \end{bmatrix} \begin{bmatrix} f_u \\ f_v \\ f_w \end{bmatrix} \quad (3-1)$$

$$\begin{bmatrix} f_d \\ f_q \end{bmatrix} = \begin{bmatrix} \cos(\omega t) & \sin(\omega t) \\ -\sin(\omega t) & \cos(\omega t) \end{bmatrix} \begin{bmatrix} f_\alpha \\ f_\beta \end{bmatrix} \quad (3-2)$$

(ก) การแปลงแกนสามเฟสเป็นแกน $\alpha\beta$ (ข) การแปลงแกน $\alpha\beta$ เป็นแกนดีคิว

รูปที่ 3.1 แผนภาพการแปลงแกนของปาร์ค

จากรูปที่ 3.1 (ก) งานวิจัยได้พิจารณาปริมาณทางไฟฟ้านั้นแกนสามเฟสสมดุล (f_u, f_v, f_w) ที่มีส่วนประกอบลำดับบวก (positive sequence) ทำมุ่งห่างกัน เท่ากับ $\frac{2\pi}{3}$ เรเดียน จึงไม่พิจารณาส่วนประกอบลำดับศูนย์ (zero sequence) สำหรับแกน $\alpha\beta$ จะต้องทำมุ่งตั้งจากโดยกำหนดให้แกน α วางตัวในแนวเดียวกันกับเฟส u ในส่วนรูปที่ 3.1 (ข) แกนดีคิวทำมุ่งตั้งจากกันหนูนด้วยความเร็วเท่ากับ ω (เรเดียน/วินาที) เพื่อให้เกิดความเข้าใจมากขึ้นจะยกตัวอย่างกระแสไฟฟ้านั้นแกนสามเฟสสมดุลกรณีไม่พิจารณาปริมาณ莎ร์มอนิก เมื่อต้องการแปลงให้อยู่บนแกนดีคิวสามารถทำได้โดย ขั้นตอนที่หนึ่ง คือ แปลงปริมาณบนแกน $\alpha\beta$ ให้อยู่บนแกนดีคิว เมื่อพิจารณาการหมุนบนแกนดีคิว เท่ากับ ค่าความถี่เชิงมุมของกระแสไฟฟ้านั้นแกนสามเฟส ผลลัพธ์ที่เกิดขึ้นแสดงดังตารางที่ 3.1 โดยที่ i_1 คือ ค่าแอมเพลจูดของกระแสที่ความถี่มูลฐานของระบบ

ตารางที่ 3.1 การแปลงกระแสไฟฟ้าบนแกนสามเฟส กรณีไม่พิจารณาปริมาณชาร์มอนิก

แกนการแปลง	รูปแบบสมการ
บนแกนสามเฟส	$i_u = i_1 \cos(\omega t)$, $i_v = i_1 \cos(\omega t - \frac{2\pi}{3})$, $i_w = i_1 \cos(\omega t + \frac{2\pi}{3})$
บนแกน $\alpha\beta$	$i_\alpha = \sqrt{\frac{2}{3}} \cdot \frac{3}{2} i_1 \cos(\omega t)$, $i_\beta = \sqrt{\frac{2}{3}} \cdot \frac{3}{2} i_1 \sin(\omega t)$
บนแกนดีคิว	$i_d = \sqrt{\frac{2}{3}} \cdot \frac{3}{2} i_1$, $i_q = 0$

ตารางที่ 3.2 การแปลงกระแสไฟฟ้าบนแกนสามเฟส กรณีพิจารณาปริมาณชาร์มอนิก

อันดับที่ 5 และอันดับที่ 7

แกนการแปลง	รูปแบบสมการ
บนแกนสามเฟส	$i_u = i_1 \cos(\omega t) + i_5 \cos(5\omega t) + i_7 \cos(7\omega t)$ $i_v = i_1 \cos(\omega t - \frac{2\pi}{3}) + i_5 \cos(5\omega t + \frac{2\pi}{3}) + i_7 \cos(7\omega t - \frac{2\pi}{3})$ $i_w = i_1 \cos(\omega t + \frac{2\pi}{3}) + i_5 \cos(5\omega t - \frac{2\pi}{3}) + i_7 \cos(7\omega t + \frac{2\pi}{3})$
บนแกน $\alpha\beta$	$i_\alpha = \sqrt{\frac{2}{3}} \cdot \frac{3}{2} (i_1 \cos(\omega t) + i_5 \cos(5\omega t) + i_7 \cos(7\omega t))$ $i_\beta = \sqrt{\frac{2}{3}} \cdot \frac{3}{2} (i_1 \sin(\omega t) - i_5 \sin(5\omega t) + i_7 \sin(7\omega t))$
บนแกนดีคิว	$i_d = \sqrt{\frac{2}{3}} \cdot \frac{3}{2} (i_1 + i_5 \cos(6\omega t) + i_7 \cos(6\omega t))$ $i_q = \sqrt{\frac{2}{3}} \cdot \frac{3}{2} (-i_5 \sin(6\omega t) + i_7 \sin(6\omega t))$

ในงานวิจัย กระแสไฟฟ้าบนแกนสามเฟสที่นำมาพิจารณาได้รับผลกระทบจากโหลดเรียงกระแสสามเฟสก่อให้เกิดปริมาณชาร์มอนิกขึ้น การแปลงปริมาณดังกล่าวให้อยู่บนแกนดีคิวนั้นสามารถทำได้ โดยทำการยกตัวอย่าง กรณีที่มีชาร์มอนิกอันดับที่ 5 และชาร์มอนิกอันดับที่ 7 รวมอยู่กับกระแสไฟฟ้าที่ความถี่มูลฐาน ดังตารางที่ 3.2 โดยที่ i_5 และ i_7 คือ ค่าแอนเพลจูคลของกระแสที่ความถี่ชาร์มอนิกอันดับที่ 5 และอันดับที่ 7 ตามลำดับ จะสังเกตได้ว่าปริมาณชาร์มอนิกอันดับที่ 5 และอันดับที่ 7 จะปรากฏในอันดับที่ 6 เมื่อพิจารณาอยู่บนแกนดีคิว ซึ่งแตกต่างกันในส่วน

เครื่องหมายของค่ากระแสแกนคิวซึ่งขึ้นอยู่กับลำดับเฟสของชาร์มอนิกในแต่ละอันดับ สำหรับปริมาณชาร์มอนิกอันดับใด ๆ เมื่อพิจารณาอยู่บนแกนคิวสามารถแสดงได้ดังตารางที่ 3.3

ตารางที่ 3.3 ปริมาณชาร์มอนิกที่ปรากฏบนแกนคิว

อันดับชาร์มอนิกบนแกนสามเฟส	ลำดับเฟส	อันดับชาร์มอนิกบนแกนคิว (หมุนที่ความถี่มูลฐานของระบบ)
5	ลบ	6 (ลำดับเฟสลบ)
7	บวก	6 (ลำดับเฟสบวก)
11	ลบ	12 (ลำดับเฟสลบ)
13	บวก	12 (ลำดับเฟสบวก)
17	ลบ	18 (ลำดับเฟสลบ)
19	บวก	18 (ลำดับเฟสบวก)

กำลังไฟฟ้าบนแกนคิวเมื่อยู่ด้วยกันสองส่วน เริ่มต้นจากส่วนแรก คือ กำลังไฟฟ้าแยกที่ฟขยะหนึ่ง (p) อธิบายได้ดังสมการที่ (3-3) และค่ากำลังไฟฟ้าสามเฟส ($p_{3\phi}$) คำนวณได้ตามสมการที่ (3-4) เมื่อแปลงให้อยู่บนแกน $\alpha\beta$ ค่ากำลังไฟฟ้าแยกที่ฟขยะหนึ่งบนแกน $\alpha\beta$ ($p_{\alpha\beta}$) สามารถแสดงได้ดังสมการที่ (3-5) สุดท้ายแปลงให้ได้ค่ากำลังไฟฟ้าแยกที่ฟบนแกนคิว (p_{dq}) ปรากฏดังสมการที่ (3-6)

$$p = \mathbf{v} \cdot \mathbf{i} \quad (3-3)$$

$$p_{3\phi} = \mathbf{v}_{uvw}^T \cdot \mathbf{i}_{uvw} = [v_u \quad v_v \quad v_w] \cdot \begin{bmatrix} i_u \\ i_v \\ i_w \end{bmatrix} = v_u i_u + v_v i_v + v_w i_w \quad (3-4)$$

$$p_{\alpha\beta} = \mathbf{v}_{\alpha\beta}^T \cdot \mathbf{i}_{\alpha\beta} = [v_\alpha \quad v_\beta] \cdot \begin{bmatrix} i_\alpha \\ i_\beta \end{bmatrix} = v_\alpha i_\alpha + v_\beta i_\beta \quad (3-5)$$

$$p_{dq} = \mathbf{v}_{dq}^T \cdot \mathbf{i}_{dq} = [v_d \quad v_q] \cdot \begin{bmatrix} i_d \\ i_q \end{bmatrix} = v_d i_d + v_q i_q \quad (3-6)$$

ส่วนที่สอง คือ ค่ากำลังไฟฟ้ารีแอกทีฟขณะหนึ่ง (q) และแสดงได้ดังสมการที่ (3-7) เริ่มต้นจากค่ากำลังไฟฟ้ารีแอกทีฟขณะหนึ่งสามเฟส ($q_{3\phi}$) ตามสมการที่ (3-8) สามารถแปลงค่าดังกล่าวให้อยู่บนแกน $\alpha\beta$ ($q_{\alpha\beta}$) ดังสมการที่ (3-9) จนกระทั่งสามารถพิจารณาค่าเวกเตอร์กำลังไฟฟ้ารีแอกทีฟขณะหนึ่งบนแกนเดียว (q_{dq}) ดังสมการที่ (3-10)

$$q = \mathbf{v} \times \mathbf{i} \quad (3-7)$$

$$q_{3\phi} = \mathbf{v}_{uvw} \times \mathbf{i}_{uvw} = \begin{bmatrix} q_u \\ q_v \\ q_w \end{bmatrix} = \begin{bmatrix} v_v & v_w \\ i_v & i_w \\ v_w & v_u \\ i_w & i_u \\ v_u & v_v \\ i_u & i_v \end{bmatrix} \quad (3-8)$$



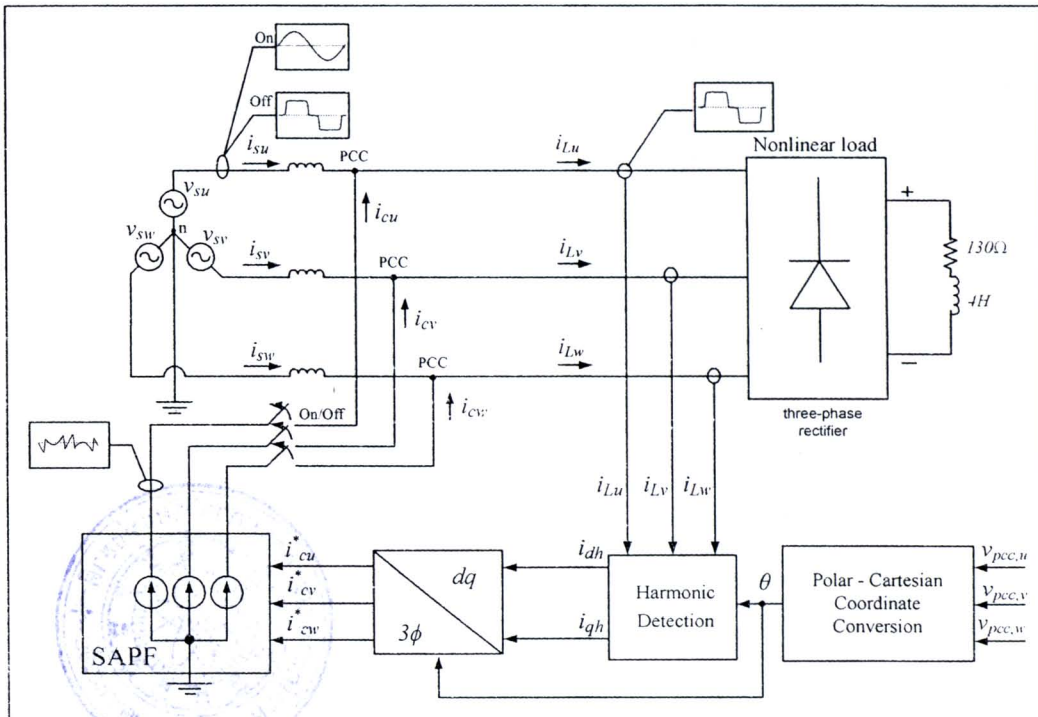
$$q_{\alpha\beta} = \mathbf{v}_{\alpha\beta} \times \mathbf{i}_{\alpha\beta} = \begin{vmatrix} v_\alpha & v_\beta \\ i_\alpha & i_\beta \end{vmatrix} = v_\alpha i_\beta - v_\beta i_\alpha \quad (3-9)$$

$$q_{dq} = \mathbf{v}_{dq} \times \mathbf{i}_{dq} = \begin{vmatrix} v_d & v_q \\ i_d & i_q \end{vmatrix} = v_d i_q - v_q i_d \quad (3-10)$$

3.3 การจำลองสถานการณ์สำหรับการทดสอบสมรรถนะการตรวจจับสารมอนิก

การจำลองสถานการณ์ในบทนี้เพื่อต้องการทดสอบสมรรถนะการตรวจจับสารมอนิก จึงไม่พิจารณาผลกรະทบที่เกิดขึ้นจากตัวควบคุมการฉีดกรະเสชดเชย การควบคุมแรงดันบัสไฟตรง และการทำงานของวงจรอินเวอร์เตอร์ ที่ทำหน้าที่เป็นวงจรกรองกำลังแอกทีฟแบบบานาน ดังนั้น จึงเลือกใช้แบบจำลองของวงจรกรองกำลังแอกทีฟเป็นแหล่งจ่ายกระแสอุดมคติ ทำหน้าที่ฉีดกรະเสชดเชยได้อย่างสมบูรณ์โดยกระแสเสชดเชยดังกล่าวจะมีค่าเท่ากับกระแสอ้างอิงสามเฟส ที่ได้จากการตรวจจับสารมอนิกบนแกนเดียว

การจำด้วยวิธีการจำลองของวงจรกรองกำลังแอกทีฟแบบบานานสำหรับระบบไฟฟ้ากำลังสามเฟสสมดุล แสดงได้ดังรูปที่ 3.2 จากรูปดังกล่าวแหล่งจ่ายกำลังไฟฟ้าสามเฟส เท่ากับ 380 V_{L-L} ค่าความเหนี่ยววนทางด้านสายสั่ง เท่ากับ 0.01 mH ต่อเข้ากับโหลดไม่เป็นเชิงเส้น คือ วงจรเรียงกระแสสามเฟสแบบบริดจ์ที่มีโหลดเป็นค่าความต้านทาน (R_L) เท่ากับ 130Ω อนุกรมกับค่าความเหนี่ยววนนำ (L_L) เท่ากับ 4 H



รูปที่ 3.2 ระบบสำหรับการทดสอบสมรรถนะการตรวจจับชาร์มอนิก

โหลดไม่เป็นเชิงเส้นดังกล่าวก่อให้เกิดกระแสสัมภาร์มอนิกขึ้นที่เหลื่อยกำลังไฟฟ้าหลัก บล็อกตรวจจับชาร์มอนิกบนแกนเดียวซึ่งเข้ามานีบทบาท เพื่อตรวจจับกระแสสัมภาร์มอนิกที่เกิดขึ้นในระบบ ด้วยการคำนวณค่ากระแสอ้างอิงของแกนเดียว (i_{dh} และ i_{qh}) ก่อนแปลงให้อยู่บนแกนสามเฟส (i_{cu}^* , i_{cv}^* และ i_{cw}^*) สำหรับป้อนเป็นสัญญาณอ้างอิงให้กับวงจรกรองกำลังแยกทีฟแบบบานาน จากนั้น บล็อกของวงจรกรองกำลังแยกทีฟแบบบานานที่เป็นเหลื่อยกำลังกระแสสัมภาร์มอนิกจะทำหน้าที่ฉีดกระแสชดเชย (i_{cu} , i_{cv} และ i_{cw}) ให้แก่ระบบ ซึ่งสามารถพิจารณาการฉีดกระแสชดเชยกรณีเฟส n ได้ตาม สมการที่ (3-11) ดังนี้

$$i_{su} = i_{Lu} - i_{cu} \quad (3-11)$$

จากสมการที่ (3-11) เมื่อพิจารณาการทำงานในกรณีเฟส n ที่ไม่มีการฉีดกระแสชดเชย (i_{cu}) ค่ากระแสที่เหลื่อยกำลังไฟฟ้าหลัก (i_{su}) จะเท่ากับ ค่ากระแสไฟฟ้าที่โหลด (i_{Lu}) ซึ่งจะมีการผิดเพี้ยนของรูปรูปสัญญาณ จึงทำให้รูปรูปสัญญาณมีลักษณะบิดเบี้ยวไม่เป็นรูปไข่น แต่ถ้าทำการฉีดกระแสชดเชยดังสมการที่ (3-11) ค่ากระแสที่เหลื่อยกำลังไฟฟ้าหลักจะเท่ากับ ค่ากระแสไฟฟ้าที่โหลดหักลบกับค่ากระแสชดเชยจึงทำให้ค่ากระแสที่เหลื่อยกำลังไฟฟ้ามีลักษณะรูปสัญญาณเป็นไข่นมากขึ้น ทั้งนี้เนื่องจากการฉีดกระแสชดเชยเข้าสู่ระบบเพื่อหักลบกับปริมาณชาร์มอนิกที่เกิดขึ้น

ส่งผลให้รูปสัญญาณปรากฏองค์ประกอบของสารมอนิกลดน้อยลง ขณะเดียวกันองค์ประกอบที่ความถี่มูลฐานยังคงอยู่เช่นเดิม สำหรับผลการทดสอบจะใช้ค่าเบอร์เซ็นต์ความเพี้ยนกระแสสารมอนิกรวมในแต่ละเฟส (Total Harmonic Current Distortion: %THD_{i,k}) ดังสมการที่ (3-12) โดยการเฉลี่ยเป็น %THD_{av} ตามสมการที่ (3-13) เป็นตัวชี้วัดสมรรถนะการตรวจจับสารมอนิก เพื่อให้การตรวจจับสาร์มอนิกบนแกนดีคิวมีสมรรถนะดีที่สุดสำหรับวงจรกรองกำลังแอคทีฟแบบบานาน

$$\% \text{THD}_{i,k} = \sqrt{\frac{\sum_{h=2}^{\infty} i_h^2}{i_1}} \times 100\% \quad (3-12)$$

$$\% \text{THD}_{av} = \sqrt{\frac{\sum_{k=u,v,w} \% \text{THD}_{i,k}^2}{3}} \quad (3-13)$$

นอกเหนือไปจากการพิจารณาค่า %THD_{av} เป็นตัวชี้วัดสมรรถนะการตรวจจับสาร์มอนิก ผู้วิจัยมีความต้องการที่จะจำจัดสาร์มอนิก ควบคู่กับการปรับปรุงค่าตัวประกอบกำลังไฟฟ้าให้กับระบบ ดังนั้น การจำลองสถานการณ์เพื่อทดสอบสมรรถนะการตรวจจับสาร์มอนิกบนแกนดีคิว จึงมีการนำเสนอค่าตัวประกอบกำลัง (pf) ในกรณีก่อน และภายหลังการซัดเชย โดยมีแนวทางการปรับปรุงในสองส่วน คือ ค่า pf_{disp} (displacement power factor) ดังสมการที่ (3-14) และค่า pf_{dist} (distortion power factor) ดังสมการที่ (3-15) เพราะฉะนั้น ตัวชี้วัดสมรรถนะการปรับปรุงค่าตัวประกอบกำลังจึงพิจารณาที่ค่าตัวประกอบกำลังรวม (pf_{total}) ดังสมการที่ (3-16)

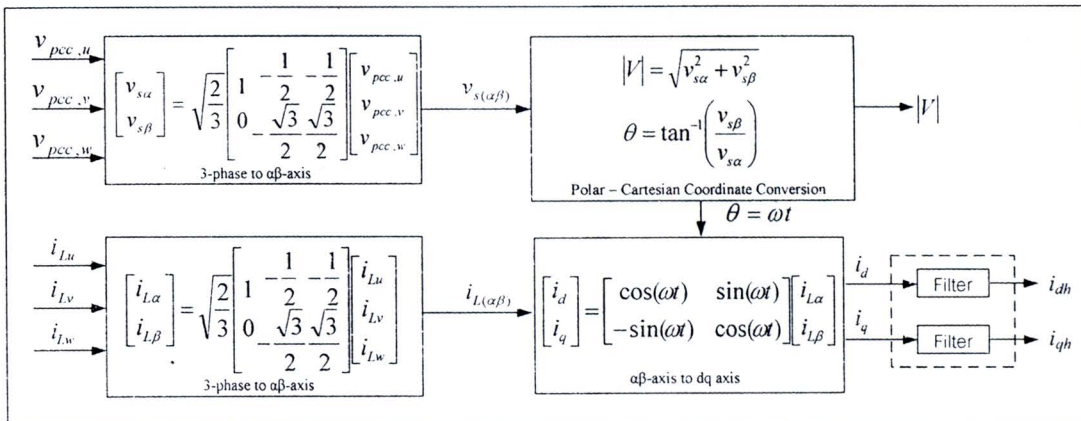
$$pf_{disp} = \frac{P}{S_1} = \frac{\frac{1}{T} \int_0^T v(t) \cdot i(t) dt}{V_{rms,1} \cdot I_{rms,1}} \quad (3-14)$$

$$pf_{dist} = \frac{1}{\sqrt{1 + THD_v^2} \cdot \sqrt{1 + THD_i^2}} = \frac{V_{rms,1} \cdot I_{rms,1}}{V_{rms} \cdot I_{rms}} \quad (3-15)$$

$$pf_{total} = pf_{dist} \times pf_{disp} \quad (3-16)$$

3.4 การตรวจจับ荷าร์มอนิกด้วยวิธีกรอบอ้างอิงซิงโกรนัส

การตรวจจับ荷าร์มอนิกด้วยวิธีกรอบอ้างอิงซิงโกรนัส หรือวิธี SRF มีแผนภาพขั้นตอนการคำนวณแสดงได้ตามรูปที่ 3.3 โดยรายละเอียดการคำนวณในแต่ละขั้นตอนเป็นดังนี้



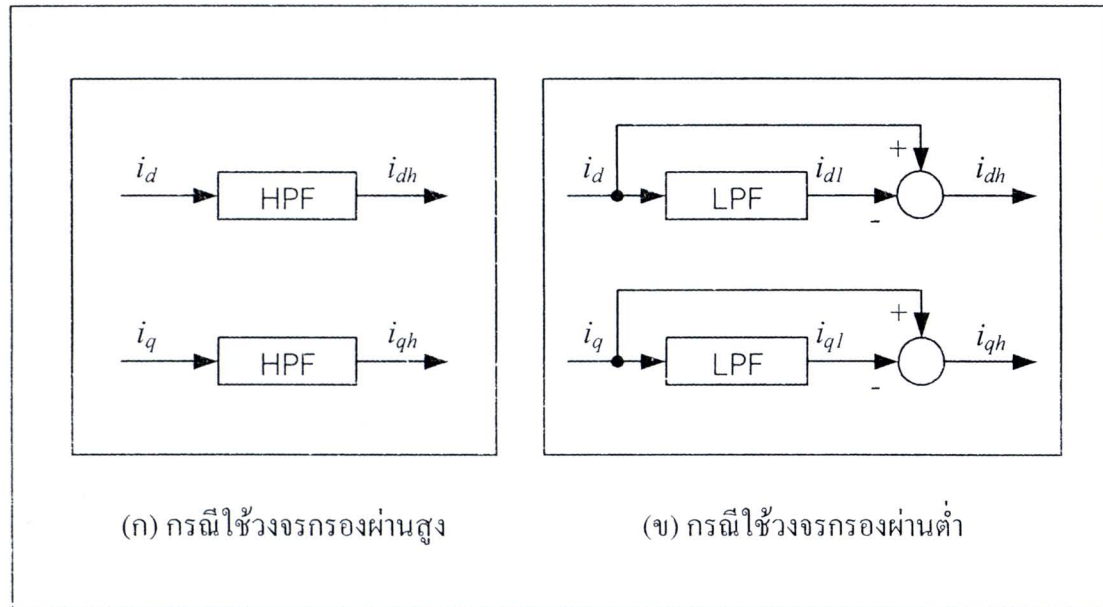
รูปที่ 3.3 แผนภาพบล็อกการตรวจจับ荷าร์มอนิกด้วยวิธี SRF

ขั้นตอนที่ 1 แปลงค่ากระแสไฟฟ้าสามเฟส คือ $i_{L,u}$, $i_{L,v}$ และ $i_{L,w}$ เป็นกระแสไฟฟ้าบนแกน $\alpha\beta$ ($i_{L\alpha}$ และ $i_{L\beta}$) รวมถึงค่าแรงดันที่จุด PCC คือ $v_{pcc,u}$, $v_{pcc,v}$ และ $v_{pcc,w}$ เป็นแรงดันไฟฟ้าบนแกน $\alpha\beta$ ($v_{s\alpha}$ และ $v_{s\beta}$) ดังนี้ลักษณะ 3-phase to $\alpha\beta$

ขั้นตอนที่ 2 แปลงค่ากระแสบนแกน $\alpha\beta$ ไปยังบนแกนเดียวกัน (i_d และ i_q) ซึ่งปรากฏในบล็อก $\alpha\beta$ axis to dq axis สำหรับค่า ω ที่ปรากฏในสมการพิจารณาจากค่ามุม (θ) โดยคำนวณมาจากบล็อก Polar – Cartesian Coordinate Conversion มีค่าเท่ากับ ความถี่มูลฐานของระบบ ทำให้ เวลาเตอร์กระแสไฟฟ้า i_d และ i_q หมุนด้วยความเร็วเชิงมุม เท่ากับ 314.16 เรเดียน/วินาที เพื่อใช้ พิจารณาแยกปริมาณกระแส荷าร์มอนิก (i_{dh} และ i_{qh}) ออกจากปริมาณกระแสฐาน (i_{d1} และ i_{q1})

ขั้นตอนที่ 3 แยกปริมาณกระแส荷าร์มอนิกที่อยู่บนแกนเดียวกัน ออกจากปริมาณกระแสที่ความถี่มูลฐาน ทำได้โดยใช้วงจรกรอง เช่น วงจรกรองผ่านสูง (HPF) หรือวงจรกรองผ่านต่ำ (LPF) เป็นต้น โดยมีโครงสร้างการใช้งานดังรูปที่ 3.4 การใช้วงจรกรองดังกล่าว แสดงไว้ด้วยบล็อก Filter ในรูปที่ 3.3 สำหรับการปรับค่าความถี่ตัดของวงจรกรองผ่านสูง และวงจรกรองผ่านต่ำมีผลต่อ สมรรถนะการตรวจจับ荷าร์มอนิกด้วยวิธี SRF ซึ่งจะนำเสนอแนวทางการปรับปรุงสมรรถนะใน

ลำดับถัดไป ในขั้นตอนนี้จะได้ปริมาณกระแสาร์มอนิก (i_{dh} และ i_{qh}) เพื่อใช้เป็นกระแสอ้างอิงบนแกนติคิวให้กับขั้นตอนการควบคุมกระแสแซดเชยต่อไป



รูปที่ 3.4 โครงสร้างการใช้งานวงจรกรองผ่านสูงและวงจรกรองผ่านต่ำ

3.5 การปรับปรุงสมรรถนะของการตรวจจับหาร์มอนิก ด้วยวิธีกรอบอ้างอิงซิงโครนัส

การปรับค่าความถี่ตัดของวงจรกรองผ่านสูง และวงจรกรองผ่านต่ำมีผลต่อสมรรถนะการตรวจจับหาร์มอนิกด้วยวิธี SRF จึงนำจุดนี้มาเป็นเกณฑ์เพื่อปรับปรุงสมรรถนะการตรวจจับดังกล่าว วงจรกรองที่นำมาทดสอบมี 2 ชนิด คือ วงจรกรองผ่านสูง และวงจรกรองผ่านต่ำ ซึ่งทดสอบที่ อันดับ 1 ถึง อันดับ 3 ในช่วงความถี่ตัด 1 เฮิรตซ์ ถึง 100 เฮิรตซ์ จากการวิเคราะห์โครงสร้างวงจร แอนะลอกของวงจรดังกล่าว ให้อยู่ในรูปแบบฟังก์ชันถ่ายโอน พิจารณาได้จากตารางที่ 3.4 และ ตารางที่ 3.5 ตามลำดับ สิ่งที่มีความสำคัญในการทดสอบสมรรถนะการตรวจจับหาร์มอนิก คือ ค่าความถี่ตัด (cutoff frequency: f_c) ณ จุดการทำงานของระบบ

จากตารางที่ 3.4 และตารางที่ 3.5 แสดงโครงสร้างของวงจรกรองผ่านสูง และวงจรกรองผ่านต่ำ อันดับ 1 ถึง อันดับ 3 ในรูปแบบของวงจรแอนะลอก รวมถึงแสดงรูปแบบฟังก์ชันถ่ายโอน ในแต่ละวงจรสำหรับนำไปใช้แทนในความสัมพันธ์ ดังสมการที่ (3-17) เพื่อนำผลลัพธ์จากสมการที่

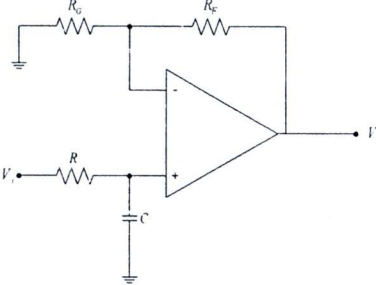
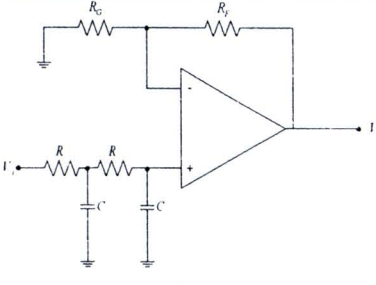
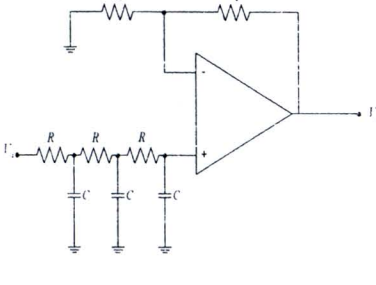
ได้แทนค่าในฟังก์ชันถ่ายโอน และนำผลเฉลยที่ได้จากการแทนค่าที่ความถี่ตัดได ๆ แทนลงในบล็อกฟังก์ชันถ่ายโอน สำหรับทดสอบร่วมกับระบบจำลองสถานการณ์ดังรูปที่ 3.2 ซึ่งผลการทดสอบ ปรากฏดังรูปที่ 3.5 ในกรณีวงจรกรองผ่านสูง และรูปที่ 3.6 ในกรณีวงจรกรองผ่านต่ำ

$$f_C = \frac{1}{2\pi RC} \quad (3-17)$$

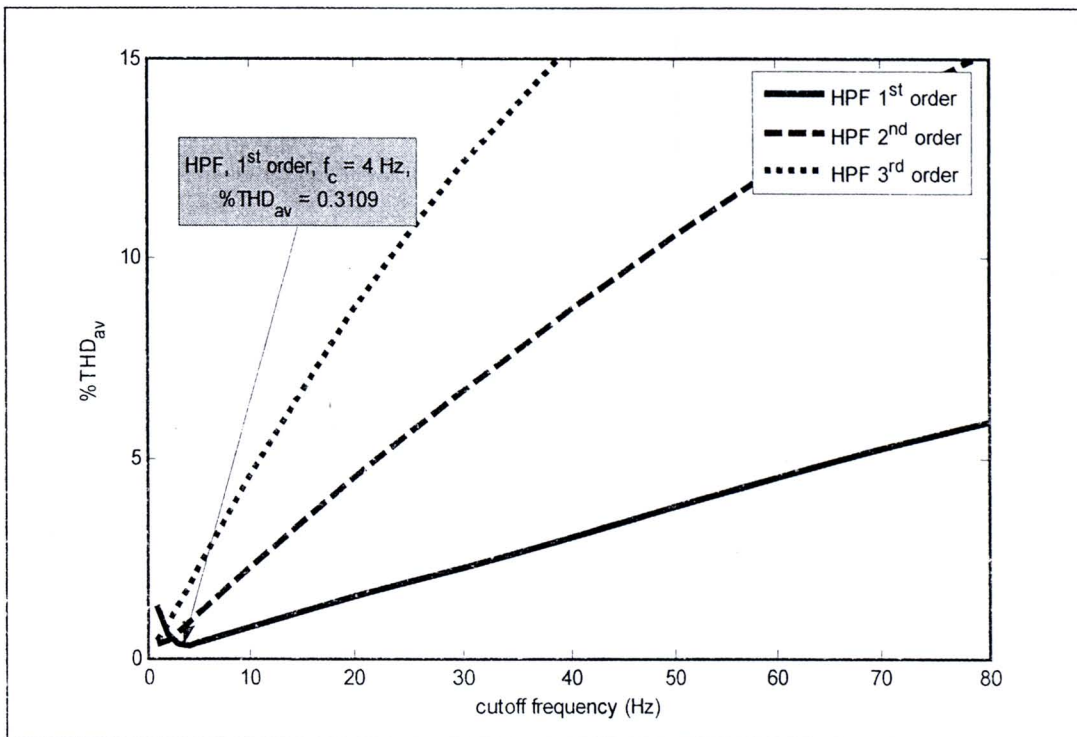
ตารางที่ 3.4 รูปแบบฟังก์ชันถ่ายโอน และโครงสร้างของวงจรกรองผ่านสูง

อันดับวงจร	โครงสร้างวงจร	ฟังก์ชันถ่ายโอน
อันดับหนึ่ง		$H(s) = \frac{s}{s + \frac{1}{RC}}$
อันดับสอง		$H(s) = \frac{s^2}{s^2 + \frac{3}{RC}s + \frac{1}{(RC)^2}}$
อันดับสาม		$H(s) = \frac{s^3}{s^3 + \frac{6}{RC}s^2 + \frac{5}{(RC)^2}s + \frac{1}{(RC)^3}}$

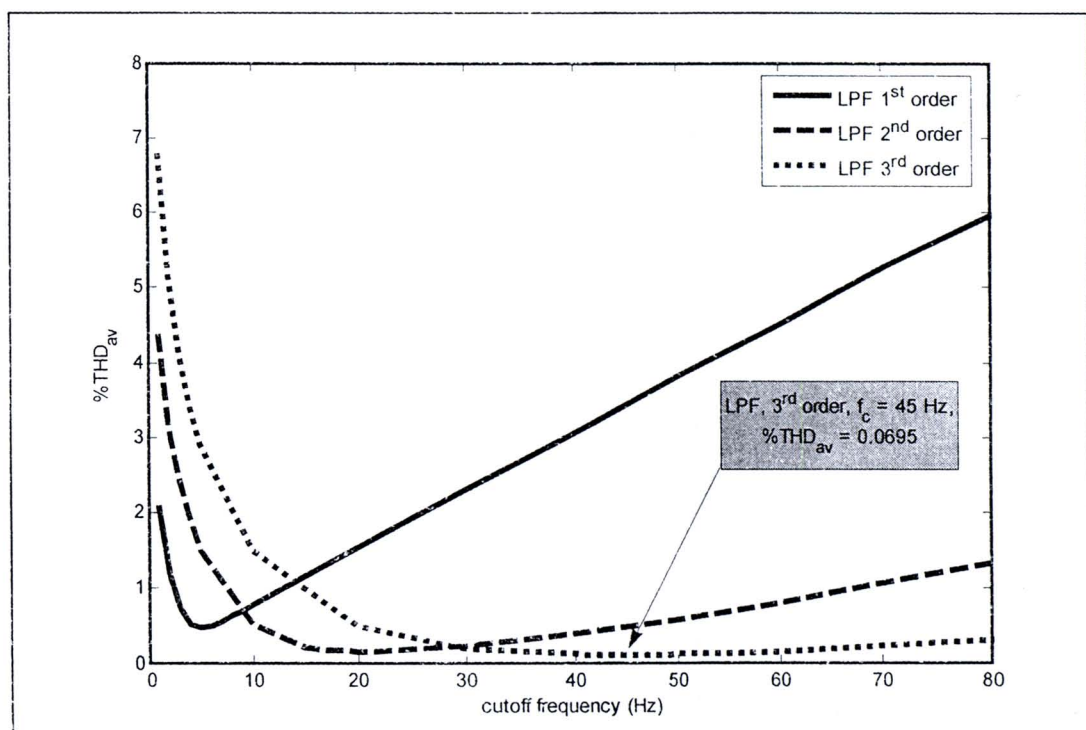
ตารางที่ 3.5 รูปแบบฟังก์ชันถ่ายโอน และโครงสร้างของวงจรกรองผ่านค่า

อันดับวงจร	โครงสร้างวงจร	ฟังก์ชันถ่ายโอน
อันดับหนึ่ง		$L(s) = \frac{1}{RC} \frac{1}{s + \frac{1}{RC}}$
อันดับสอง		$L(s) = \frac{1}{(RC)^2} \frac{1}{s^2 + \frac{3}{RC}s + \frac{1}{(RC)^2}}$
อันดับสาม		$L(s) = \frac{1}{(RC)^3} \frac{1}{s^3 + \frac{5}{RC}s^2 + \frac{6}{(RC)^2}s + \frac{1}{(RC)^3}}$

จากรูปที่ 3.5 ค่า $\%THD_{av}$ หลังการซัดเชยจากการจำลองสถานการณ์โดยใช้วงจรกรองผ่านสูงอันดับที่ 1 ที่ค่าความถี่ตัดเท่ากับ 4 เฮิรตซ์ ส่งผลให้กระแสไฟฟ้าทางค้านแหล่งจ่ายหลังการซัดเชยมีค่า $\%THD_{av}$ น้อยที่สุด เท่ากับ 0.3109 เปอร์เซ็นต์ และการทดสอบสมรรถนะการแยกปริมาณสาร์มอนิกที่ใช้วงจรกรองผ่านค่าดังรูปที่ 3.6 มีค่า $\%THD_{av}$ หลังการซัดเชยที่ได้จากการจำลองสถานการณ์โดยใช้วงจรกรองผ่านค่าอันดับที่ 3 ที่ค่าความถี่ตัดเท่ากับ 45 เฮิรตซ์ ส่งผลให้กระแสไฟฟ้าทางค้านแหล่งจ่ายหลังการซัดเชยมีค่า $\%THD_{av}$ น้อยที่สุดเท่ากับ 0.0695 เปอร์เซ็นต์



รูปที่ 3.5 ผลการทดสอบสมรรถนะการแยกปริมาณชาร์มอนิกที่ใช้วงจรกรองผ่านสูง

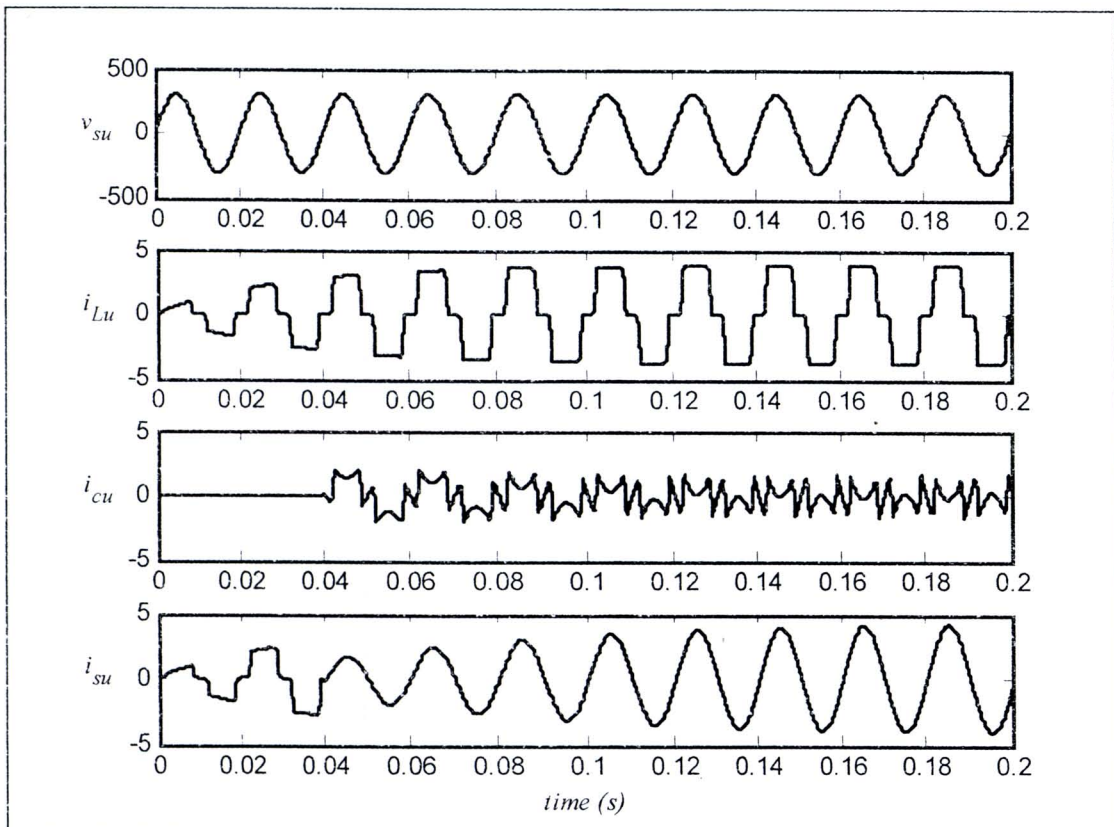


รูปที่ 3.6 ผลการทดสอบสมรรถนะการแยกปริมาณชาร์มอนิกที่ใช้วงจรกรองผ่านต่ำ



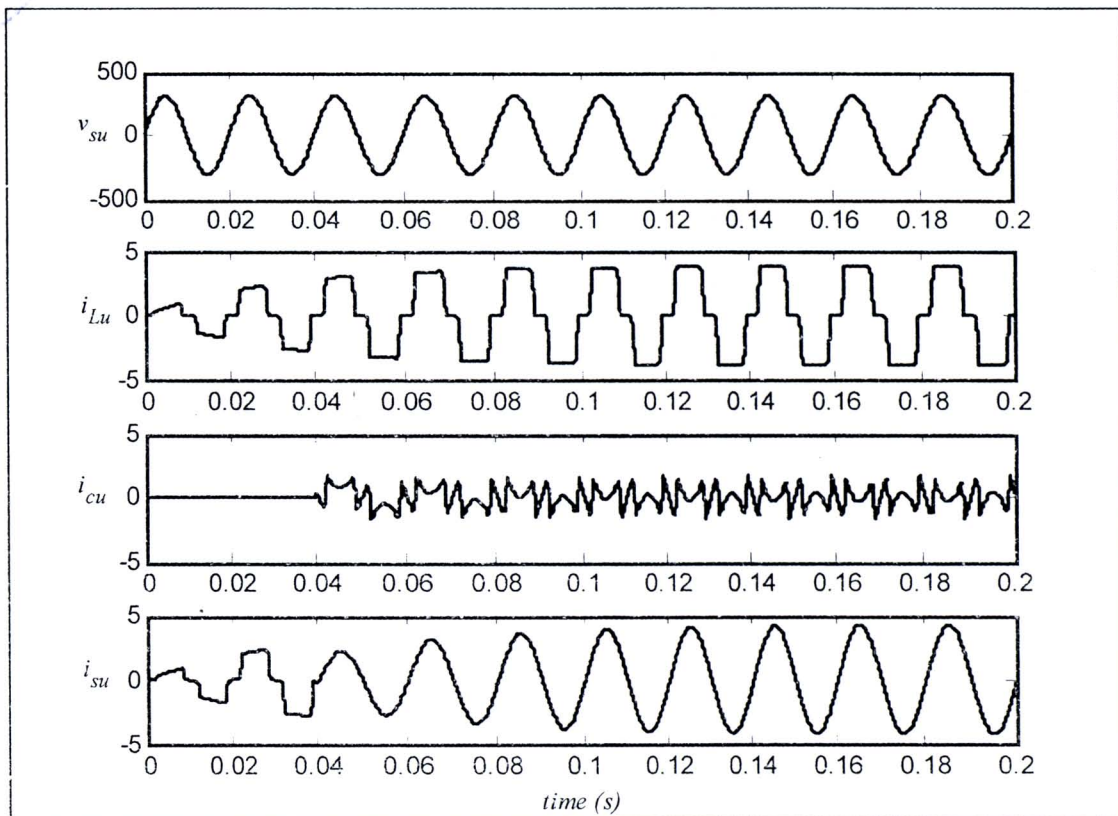
ผลการทดสอบจากรูปที่ 3.5 และรูปที่ 3.6 พบว่า อันดับของวงจรกรองความถี่แบบแอนะลอกมีผลต่อการแยกปริมาณสาร์มอนิก ในเชิงทฤษฎีวิธีกรองความถี่แบบแอนะลอกอันดับสูง (High – Order Filter) อาจมีส่วนเพื่อให้ได้สมรรถนะที่ดียิ่งขึ้น ซึ่งในงานวิจัยนี้ไม่ได้ทำการทดสอบวงจรดังกล่าว เนื่องจากเล็งเห็นถึงความซับซ้อนสำหรับการสร้างจริงในทางปฏิบัติ ในขณะที่ค่า $\%THD_{av}$ อาจมีแนวโน้มลดลงไม่มากกว่าหนึ่งนัก ทำให้การทดสอบวงจรดังกล่าวทดสอบเฉพาะที่อันดับ 1 ถึงอันดับ 3 เพ่านั้น อีกทั้งผลการทดสอบที่นำเสนอ มีสมรรถนะการแยกปริมาณสาร์มอนิก เป็นที่น่าพอใจ ซึ่งเห็นได้จากการจำลองสถานการณ์ในรูปที่ 3.7 และรูปที่ 3.8

ผลการจำลองสถานการณ์กรนีใช้วงจรกรองผ่านสูง และวงจรกรองผ่านต่ำในการแยกปริมาณสาร์มอนิก ของเฟส ๙ ดูได้จากรูปที่ 3.7 และรูปที่ 3.8 ตามลำดับ เมื่อพิจารณาในรูปที่ 3.7 และรูปที่ 3.8 สังเกตได้ว่า การจำลองสถานการณ์พิจารณาในช่วงเวลาตั้งแต่ ๐ วินาที ถึง ๐.๒ วินาที เนื่องจากช่วงเวลาดังกล่าวระบบจะเข้าสู่สภาวะคงตัว



รูปที่ 3.7 ผลการจำลองสถานการณ์ของเฟส ๙ กรนีใช้วงจรกรองผ่านสูง

แยกปริมาณสาร์มอนิก ($f_c = 4 \text{ Hz}$)



รูปที่ 3.8 ผลการจำลองสถานการณ์ของเฟส n กรณีใช้วงจรกรองผ่านตัว

แยกปริมาณสาร์มอนิก ($f_c = 45 \text{ Hz}$)

จากผลการจำลองสถานการณ์สังเกตุได้ว่าในช่วงเวลา 0 วินาที ถึง 0.04 วินาที ยังไม่มีการฉีดกระแสชดเชยเข้าสู่ระบบ ทำให้รูปสัญญาณกระแสไฟฟ้าที่แหล่งจ่ายจะเหมือนกับรูปสัญญาณกระแสไฟฟ้าที่โหลด ต่อมาก็ช่วงเวลาตั้งแต่ 0.04 วินาที ถึง 0.20 วินาที มีการฉีดกระแสชดเชยเข้าสู่ระบบ ทำให้รูปสัญญาณกระแสชดเชยเป็นไปตามรูปสัญญาณกระแสอ้างอิง ที่ได้จากการตรวจจับสาร์มอนิกด้วยวิธี SRF ดังนั้น รูปสัญญาณกระแสไฟฟ้าที่แหล่งจ่ายกำลังไฟฟ้าหลักจะมีลักษณะเป็นรูปสัญญาณไซน์มากขึ้น โดยจากรูปที่ 3.7 จะสังเกตได้ว่า รูปสัญญาณกระแสไฟฟ้าที่แหล่งจ่าย (i_{su}) หลังการชดเชยจะเข้าสู่สภาวะคงตัวที่เวลาประมาณ 0.16 วินาที เนื่องจากวงจรกรองผ่านสูงเกิดการประวิงเวลาขึ้นในขณะที่มีการแยกปริมาณกระแสสาร์มอนิกที่ความถี่ตัด เท่ากับ 4 เฮิรตซ์ แต่หลังจากเวลา 0.16 วินาที รูปสัญญาณกระแส i_{su} จะเริ่มคงที่ที่ค่ากระแสสูงสุดประมาณ 4.24 A และจากรูปที่ 3.8 รูปสัญญาณกระแส i_{su} จะเข้าสู่สภาวะคงตัวที่เวลาประมาณ 0.14 วินาที ซึ่งหลังจากเวลา 0.14 วินาที รูปสัญญาณกระแส i_{su} จะเริ่มคงที่ที่ค่ากระแสสูงสุดประมาณ 4.24 A สำหรับค่า %THD ของกระแสไฟฟ้าทางด้านแหล่งจ่ายกำลังไฟฟ้าทั้งสามเฟสของห้องส่องกรณีแสดงไว้ตามตารางที่ 3.6 ซึ่งสังเกตได้ว่าค่า %THD ของกระแสไฟฟ้าทางด้าน

แหล่งจ่ายเฉลี่ยทั้งสามไฟส์ กรณีใช้วงจรกรองผ่านตัวในการแยกปริมาณสาร์มอนิกมีค่าข้อยกว่ากรณีใช้วงจรกรองผ่านสูง และมีค่าเท่ากับ 0.0695 เปอร์เซ็นต์ เมื่อเปรียบเทียบกับค่า $\% \text{THD}_{\text{av}}$ ของกระแสไฟฟ้าทางด้านแหล่งจ่ายก่อนการชดเชย พบว่า ค่า $\% \text{THD}_{\text{av}}$ ภายหลังการชดเชยมีค่าข้อยกว่ามาก โดยในภาพรวมปริมาณสาร์มอนิกลดลงถึง 99.7 เปอร์เซ็นต์ นอกจากนี้ผลของค่า $\% \text{THD}_{\text{av}}$ ของกระแสไฟฟ้าทางด้านแหล่งจ่ายภายหลังการชดเชยที่ลดลงเข้าใกล้ 0 ล่งผลให้สามารถชดเชยค่า pf_{dist} ให้มีค่าเข้าใกล้ 1 เช่นกันดังสมการที่ (3-15) ส่วนกรณีค่า pf_{disp} นั้นไม่สามารถชดเชยได้ อันเนื่องจาก การตรวจจับสาร์มอนิกด้วยวิธี SRF ไม่สามารถชดเชยค่ากำลังรีแอคทีฟไฟได้ อย่างไรก็ตามค่า pf_{total} ภายหลังการชดเชยมีค่ามากขึ้น โดยก่อนการชดเชยมีค่า pf_{total} เท่ากับ 0.9520 และภายหลังการชดเชย มีค่า pf_{total} เท่ากับ 0.9800 รายละเอียดแสดงตามตารางที่ 3.7 ดังนั้นจึงสรุปได้ว่า การตรวจจับสาร์มอนิกด้วยวิธี SRF ที่ใช้วงจรกรองผ่านตัวอันดับที่ 3 ที่ค่าความถี่ตัดเท่ากับ 45 เฮิรตซ์ ในการแยกปริมาณสาร์มอนิกให้สมรรถนะที่ดีต่อระบบที่ศึกษา

ตารางที่ 3.6 ค่า %THD ของกระแสไฟฟ้าทางด้านแหล่งจ่ายกำลังไฟฟ้าหลัก

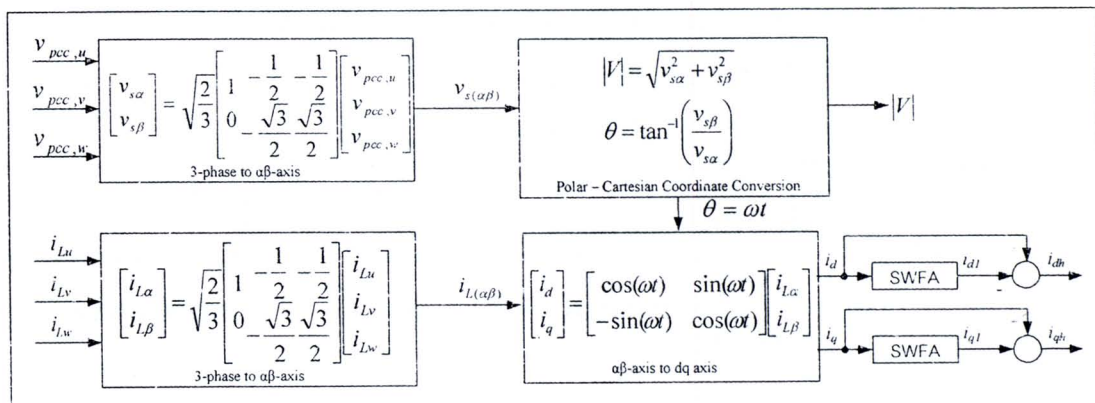
การณีตรุงจันทร์มอนิกด้วยวิธี SRF

เฟส	ค่า %THD ของกระแสไฟฟ้าทางด้านแหล่งจ่าย		
	ค่า %THD ก่อนการ ชดเชย	ค่า %THD หลังการชดเชย	
		กรณีใช้วงจรกรองผ่านสูง ในการแยกปริมาณสาร์มอนิก $f_c = 4 \text{ Hz}$	กรณีใช้วงจรกรองผ่านต่ำ ในการแยกปริมาณสาร์มอนิก $f_c = 45 \text{ Hz}$
u	24.42	0.3136	0.0691
v	24.42	0.3060	0.0698
w	24.42	0.3129	0.0696
เฉลี่ยทั้งสามเฟส	24.42	0.3109	0.0695

ตารางที่ 3.7 ผลการทดสอบสมรรถนะการซดเชยค่าตัวประกอบกำลังด้วยวิธี SRF

3.6 การตรวจจับชาร์มอนิกด้วยวิธีดิจิวเอฟ

นอกจากการตรวจจับชาร์มอนิกด้วยวิธี SRF ตามที่ได้อธิบายในข้างต้นแล้ว ยังมีวิธี DQF ซึ่งเป็นวิธีการตรวจจับชาร์มอนิกบนแกนดิจิวที่พัฒนาต่อจากวิธี SRF ที่พัฒนาโดย Sujiitjorn, Areerak, and Kulworawanichpong, (2007) ซึ่งแสดงแผนภาพการคำนวณ ดังรูปที่ 3.9 จากรูป ดังกล่าวสังเกตได้ว่าวิธี DQF จะแตกต่างกับวิธี SRF ในส่วนการแยกปริมาณกระแสสาร์มอนิกที่อยู่บนแกนดิจิว ออกจากปริมาณกระแสที่ความถี่มูลฐานโดยวิธี DQF จะใช้วิธี SWFA (Sliding Window Fourier Analysis) ในการแยกปริมาณกระแสที่ความถี่มูลฐานแทนการใช้วงจรกรอง ด้วยเหตุนี้จึงมีการทดสอบสมรรถนะการตรวจจับชาร์มอนิกของวิธี DQF เพื่อนำมาสู่การศึกษาเปรียบเทียบกับวิธี SRF การอธิบายรายละเอียดของวิธี DQF จะนำเสนอเฉพาะในส่วนของกระบวนการคำนวณของวิธี SWFA ซึ่งมีรายละเอียดดังต่อไปนี้



รูปที่ 3.9 แผนภาพผนวกของการตรวจจับชาร์มอนิกด้วยวิธี DQF

การแยกปริมาณกระแสสาร์มอนิกที่อยู่บนแกนดิจิว ออกจากปริมาณกระแสที่ความถี่มูลฐานด้วยวิธี SWFA มาจากแนวคิดการพิจารณาฐานสัญญาณกระแส i_d และ i_q เป็นสัญญาณรายคาบ โดยในขั้นต้นการคำนวณในขั้นตอนที่ 1 และ 2 จะเหมือนกับวิธี SRF แต่ต่างกันในส่วนการนำ SWFA มาใช้แทน Filter สำหรับวิธี DQF จะเริ่มต้นจากการวิเคราะห์สัญญาณกระแส i_d และ i_q ในรูปของอนุกรมฟูรีเยร์ ดังสมการที่ (3-18) ซึ่งมีองค์ประกอบสองส่วน คือ เทอมของสัญญาณกระแสตรง และเทอมของสัญญาณกระแสลับ นี่คือการแยกปริมาณทั้งสองส่วนนั้นออกจากกัน ที่หมุนด้วยความเร็วเชิงมุมเดียวกันกับที่ความถี่มูลฐานของระบบ ดังนั้น จึงมองกระแสที่ความถี่มูลฐานเป็นสัญญาณกระแสตรง และกระแสที่ความถี่อื่น เป็นสัญญาณกระแสลับ การแยกสัญญาณกระแสลับ ซึ่งคือปริมาณกระแสสาร์มอนิก ต้องตัดที่การรับค่าข้อมูลกระแส i_d

และ i_q มาหนึ่งคาบ (T) จำนวน N ข้อมูล เพื่อคำนวณหาค่ากระแสที่ความถี่มูลฐาน (i_{d1} และ i_{q1}) ดังสมการที่ (3-19) และสมการที่ (3-20) ตามลำดับ โดยที่ค่าสัมประสิทธิ์ A_{0d} และ A_{0q} คำนวณได้จากสมการที่ (3-21) และสมการที่ (3-22) หลังจากที่ดึงจุดข้อมูลด้วยจำนวน N ข้อมูลครบในหนึ่งคาบ จะสามารถหาค่า i_{d1} และ i_{q1} มาได้หนึ่งจุดข้อมูลเพื่อไปหักลบออกจากค่ากระแส i_d และ i_q ให้ได้เป็นกระแสหาร์มอนิกทั้งหมดในระบบบนแกนดีคิว (i_{dh} และ i_{qh}) นั่นคือ การคำนวณในรอบแรก หลังจากนั้นทำการดึงค่า N_0 ออกจากชุดข้อมูล N เป็น N_0-1 ในขณะเดียวกันก็จะรับข้อมูล N_0+N จากชุดข้อมูล i_d และ i_q ค่าใหม่มาอยู่ในชุดข้อมูล N เป็น N_0+N-1 เพื่อคำนวณค่าสัมประสิทธิ์ A_{0d} และ A_{0q} ค่าใหม่ ($A_{0d}^{(new)}$ และ $A_{0q}^{(new)}$) ดังสมการที่ (3-23)

$$i_{(dq)}(kT) = \frac{A_0}{2} + \sum_{h=1}^{\infty} [A_h \cos(h\omega kT) + B_h \sin(h\omega kT)] \quad (3-18)$$

$$i_{d1}(kT) = \frac{A_{0d}}{2} \quad (3-19)$$

$$i_{q1}(kT) = \frac{A_{0q}}{2} \quad (3-20)$$

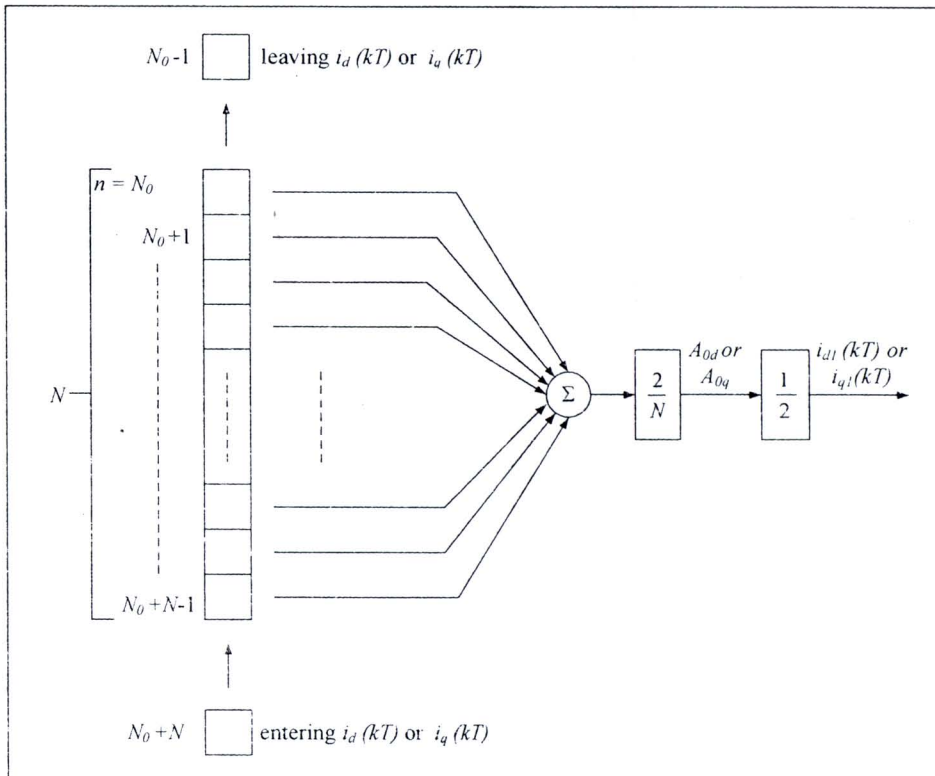
$$A_{0d} = \frac{2}{N} \sum_{n=N_0}^{N_0+N-1} i_d(nT) \quad (3-21)$$

$$A_{0q} = \frac{2}{N} \sum_{n=N_0}^{N_0+N-1} i_q(nT) \quad (3-22)$$

$$\begin{bmatrix} A_{0d}^{(new)} \\ A_{0q}^{(new)} \end{bmatrix} = \begin{bmatrix} A_{0d}^{(old)} \\ A_{0q}^{(old)} \end{bmatrix} - \frac{2}{N} \begin{bmatrix} i_d[(N_0-1)T] \\ i_q[(N_0-1)T] \end{bmatrix} + \frac{2}{N} \begin{bmatrix} i_d[(N_0+N)T] \\ i_q[(N_0+N)T] \end{bmatrix} \quad (3-23)$$

โดยที่ $A_{0d}^{(old)}$ และ $A_{0q}^{(old)}$ คือ ค่าสัมประสิทธิ์ที่ได้จากการคำนวณในรอบก่อนหน้านี้ ส่งผลให้การรับค่าข้อมูล i_d และ i_q ในแต่ละครั้งจะได้จุดข้อมูล i_{d1} และ i_{q1} สำหรับหักลบออกจากค่ากระแส i_d และ i_q และมีการส่งรับข้อมูลมาคำนวณในลักษณะนี้ตลอดย่างการทำงาน จนกระทั่งได้กระแส

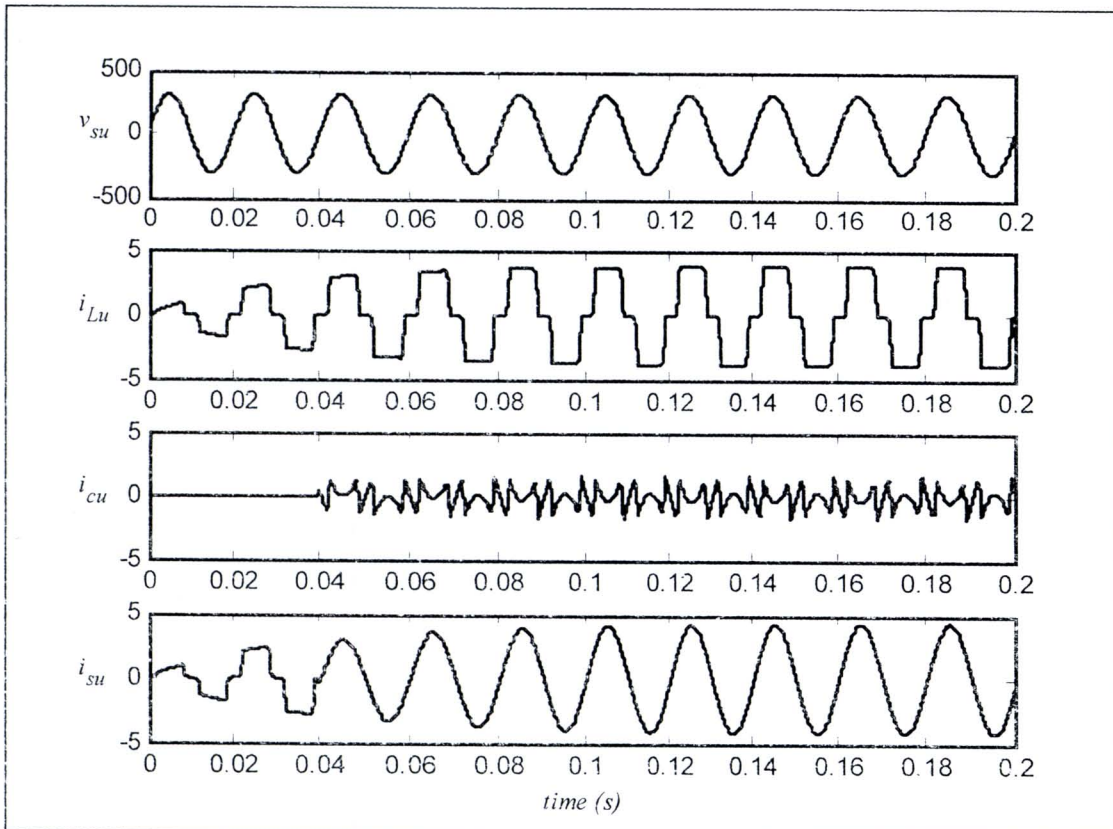
อ้างอิงบนแกนดีคิว (i_{dh} และ i_{qh}) สำหรับวงจรกรองกำลังแอคทีฟแบบบานาน สำหรับรายละเอียดการคำนวณด้วยวิธี SWFA นี้สามารถแสดงเป็นแผนภาพได้ ดังรูปที่ 3.10



รูปที่ 3.10 แผนภาพคำนวณค่าสัมประสิทธิ์พริเยร์ และคำนวณกระแสที่ความถี่มูลฐานบนแกนดีคิว

กระแสอ้างอิงบนแกนดีคิว (i_{dh} และ i_{qh}) ที่คำนวณได้ด้วยวิธี SWFA จะถูกแปลงเป็นปริมาณดังกล่าวให้อยู่บนแกนสามเฟส คือ i_{cu}^* , i_{cv}^* และ i_{cw}^* สำหรับเป็นสัญญาณอ้างอิงให้กับวงจรกรองกำลังแอคทีฟชนิดแหล่งจ่ายกระแสอุดมคติ การทดสอบสมรรถนะการตรวจจับ harmonics อนิกด้วยวิธี DQF จะจำลองสถานการณ์ร่วมกับระบบทดสอบตามรูปที่ 3.2 โดยผลการจำลองสถานการณ์แสดงได้ดังรูปที่ 3.11 จากรูปดังกล่าวในช่วงเวลาเท่ากับ 0 วินาที ถึง 0.02 วินาที จะมีการเก็บค่าข้อมูลกระแสบนแกนดีคิวมาหนึ่งคาน เพื่อคำนวณหาค่ากระแสที่ความถี่มูลฐานตามหลักการของ SWFA และเริ่มมีการนិodic กระแสซัดเชยเข้าสู่ระบบในช่วงเวลาตั้งแต่ 0.04 วินาที ถึง 0.2 วินาที พนท. ภายในชั้งการซัดเชยจะมีสัญญาณกระแสไฟฟ้าที่แหล่งจ่ายกำลังไฟฟ้าหลักมีลักษณะเป็นรูปสัญญาณไชน์มากขึ้น โดยเข้าสู่สภาวะคงตัวที่เวลาประมาณ 0.10 วินาที และรูปสัญญาณกระแส i_{su} จะเริ่มคงที่ที่ค่ากระแสสูงสุดประมาณ 4.24 A สำหรับค่า %THD ของกระแสไฟฟ้าทางด้านแหล่งจ่ายเฉลี่ยทั้งสามเฟสภายหลังการซัดเชย มีค่าเท่ากับ 0.0246 เปอร์เซ็นต์ ดังตารางที่ 3.8 ซึ่งปริมาณ

ชาร์มอนิกลดลงถึง 99.9 เปอร์เซ็นต์ จึงยืนยันได้ว่าวิธี DQF สามารถกำจัดชาร์มอนิกของระบบภายหลังการซัดเชยได้ดีที่สุด



รูปที่ 3.11 ผลการจำลองสถานการณ์ของเฟส n กรณีตรวจจับชาร์มอนิกด้วยวิธี DQF

ตารางที่ 3.8 ค่า %THD ของกระแสไฟฟ้าทางด้านแหล่งจ่ายกำลังไฟฟ้าหลัก

กรณีตรวจจับชาร์มอนิกด้วยวิธี DQF

เฟส	ค่า %THD ของกระแสไฟฟ้าทางด้านแหล่งจ่าย	
	ค่า %THD ก่อนการซัดเชย	ค่า %THD หลังการซัดเชย
		กรณีใช้ SWFA ในการแยกปริมาณชาร์มอนิก
u	24.42	0.0246
v	24.42	0.0246
w	24.42	0.0246
เฉลี่ยทั้งสามเฟส	24.42	0.0246

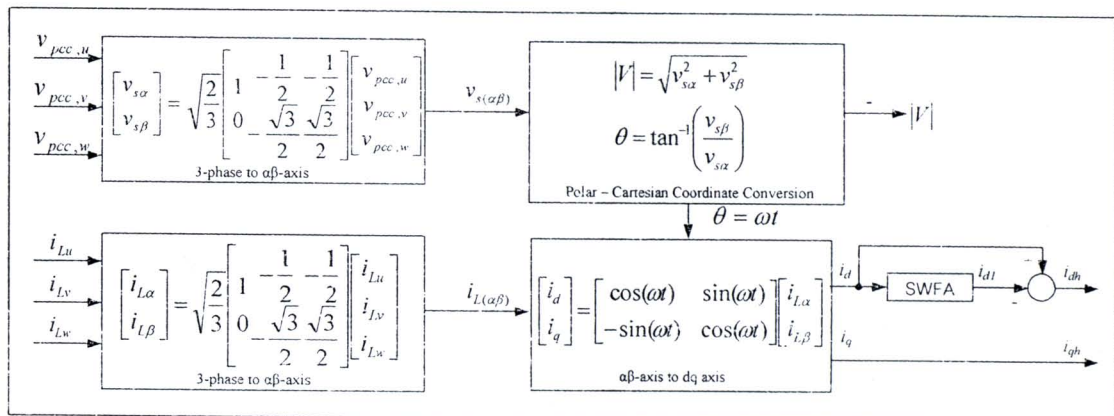
ตารางที่ 3.9 ผลการทดสอบสมรรถนะการชดเชยค่าตัวประกอนกำลังด้วยวิธี DQF

ก่อนการชดเชย								
$pf_{dist,u}$	$pf_{dist,v}$	$pf_{dist,w}$	$pf_{disp,u}$	$pf_{disp,v}$	$pf_{disp,w}$	$pf_{total,u}$	$pf_{total,v}$	$pf_{total,w}$
0.9714	0.9714	0.9714	0.9800	0.9800	0.9800	0.9520	0.9520	0.9520
หลังการชดเชยด้วยวิธี DQF (SWFA)								
1.0000	1.0000	1.0000	0.9800	0.9800	0.9800	0.9800	0.9800	0.9800

จากตารางที่ 3.9 แสดงผลการทดสอบสมรรถนะการชดเชยค่าตัวประกอนกำลังด้วยวิธี DQF พบว่า ผลจากการกำจัด荷าร์มอนิกที่ดีทำให้สามารถชดเชยค่า pf_{dist} ให้มีค่าเท่ากับ 1 แต่เนื่องจากวิธีการดังกล่าวบังไม่สามารถชดเชยค่ากำลังรีแอคทีฟได้ จึงทำให้ค่า pf_{disp} บังไม่มีการชดเชย ส่งผลให้ค่า pf_{total} ภายหลังการชดเชยมีค่าเท่ากับ 0.9800 เช่นเดียวกับการตรวจจับ荷าร์มอนิกด้วยวิธี SRF ข้อจำกัดดังกล่าวจึงเป็นแนวทางสำหรับการปรับปรุงสมรรถนะการตรวจจับ荷าร์มอนิกด้วยวิธี DQF ซึ่งจะนำเสนอรายละเอียดในหัวข้อถัดไป

3.7 การปรับปรุงสมรรถนะของการตรวจจับ荷าร์มอนิกด้วยวิธีดิจิวเอฟ

การตรวจจับ荷าร์มอนิกด้วยวิธี DQF เมื่อพิจารณา กับระบบสามเฟสสมดุล จะมีจุดเด่นในเรื่องความสามารถในการตรวจจับ荷าร์มอนิกที่ดี วิธีการดังกล่าวบังสามารถพัฒนาต่อข้อดีให้มีความสามารถในการชดเชยกำลังรีแอคทีฟ หรือชดเชยค่าตัวประกอนกำลังได้ โดยมีขั้นตอนการตรวจจับ荷าร์มอนิกที่คล้ายคลึงกับวิธี DQF จะแตกต่างกัน คือ การปรับปรุงสมรรถนะการตรวจจับ荷าร์มอนิกด้วยวิธี DQF จะไม่มีการผ่านกระบวนการแยกปริมาณ荷าร์มอนิกด้วย SWFA บนแกนคิว แต่คงได้ดังรูปที่ 3.12 ด้วยเหตุผลดังต่อไปนี้



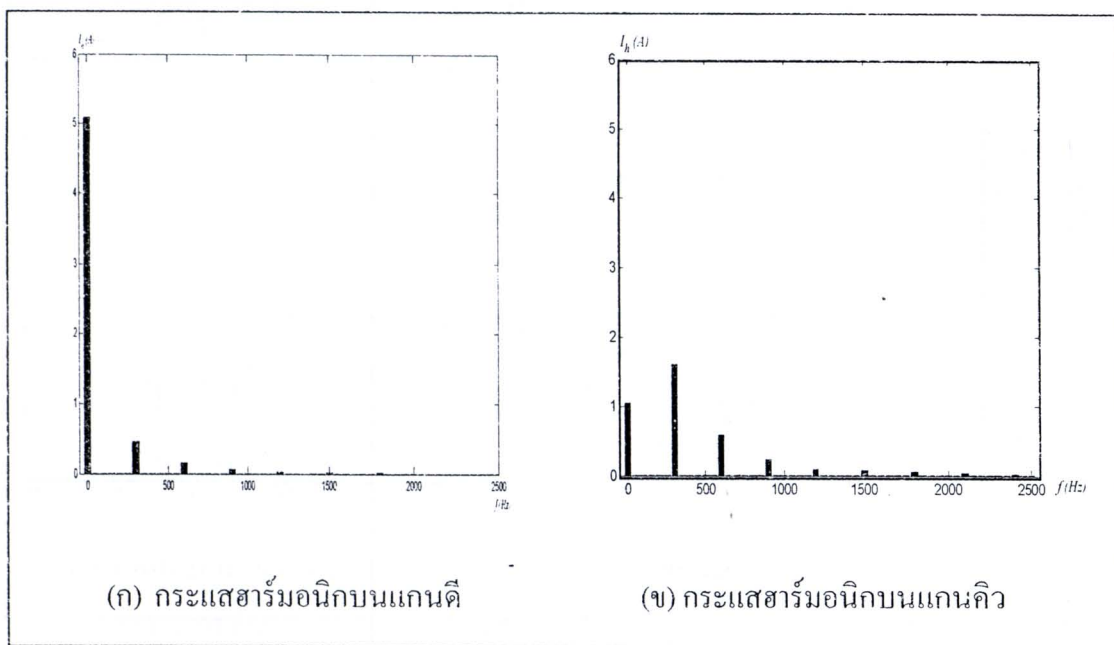
รูปที่ 3.12 แผนภาพบล็อกการปรับปรุงการตรวจจับ荷าร์มอนิกด้วยวิธี DQF

เริ่มต้นวิเคราะห์ท่อสมการของกระแสบนแกนดีคิว (i_d และ i_q) ดังสมการที่ (3-24) และ สมการที่ (3-25) ตามลำดับ ซึ่งในตัวอย่างนี้พิจารณากระแสอาร์มอนิกอันดับที่ 5 และอันดับที่ 7 รวมอยู่กับกระแสไฟฟ้าที่ความถี่มูลฐาน สังเกตได้ว่าเมื่อแปลงเทอมสมการกระแสที่มีอาร์มอนิก ปั่นอยู่บนแกนสามเฟลให้อยู่บนแกนดีคิว ที่หมุนด้วยความเร็วเชิงมุมเดียวกันกับความถี่มูลฐาน ของระบบ เทอมสมการกระแสบนแกนคิวในทางทฤษฎีจะต้องไม่ปราภูมิกระแสที่ความถี่ 0 เฮิรตซ์ และจะต้องปราภูมิกระแสอาร์มอนิกอันดับที่ 5 และอันดับที่ 7 ที่มีเครื่องหมายระบุลำดับเฟลของแต่ ละอันดับไว้อย่างชัดเจน จึงได้มีการตรวจสอบด้วยการแสดงสเปกตรัมของกระแสบนแกนดีคิวของ ระบบที่พิจารณาดังรูปที่ 3.13 เพื่ออ้างอิงกับสมการดังกล่าว

$$i_d = \sqrt{\frac{2}{3}} \cdot \frac{3}{2} (i_1 + i_5 \cos(6\omega t) + i_7 \cos(6\omega t)) \quad (3-24)$$



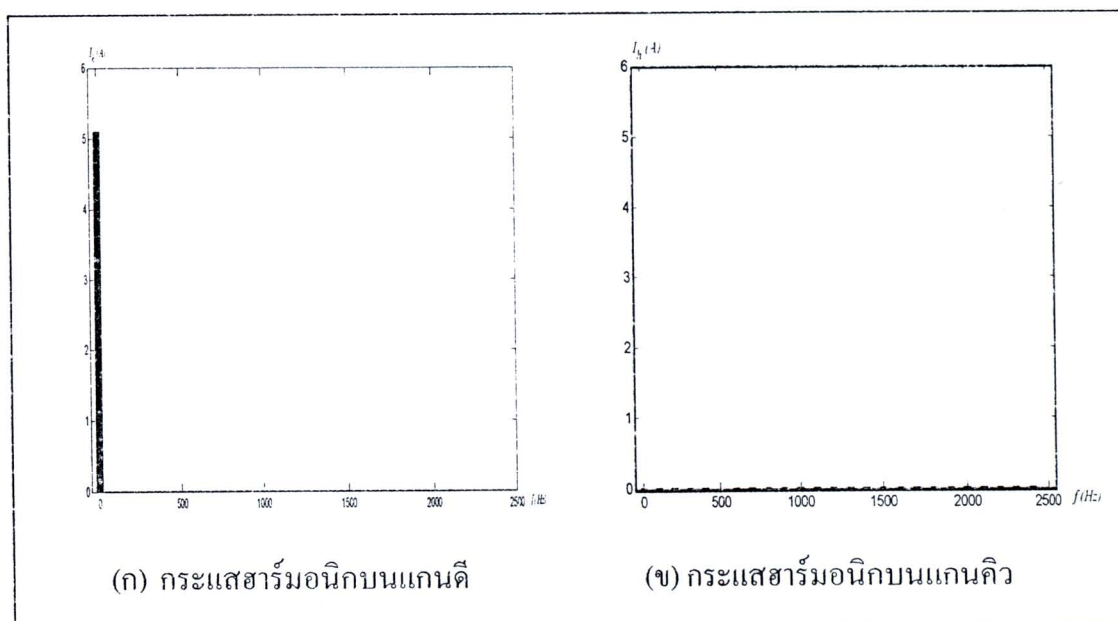
$$i_q = \sqrt{\frac{2}{3}} \cdot \frac{3}{2} (-i_5 \sin(6\omega t) + i_7 \sin(6\omega t)) \quad (3-25)$$



รูปที่ 3.13 สเปกตรัมของกระแสอาร์มอนิกลำดับต่าง ๆ บนแกนดีคิว ก่อนการซัดเชย

จากรูปที่ 3.13 การตรวจวัดสเปกตรัมของกระแสบนแกนดีคิวในระบบที่พิจารณา พบว่า มี กระแสอาร์มอนิกอันดับที่ 5 และอันดับที่ 7 ที่ความถี่ 300 เฮิรตซ์ บนแกนดีคิว รวมถึงอันดับอื่น ๆ ที่ ความถี่ต่างกัน ซึ่งตรงตามที่ระบุไว้ในตารางที่ 3.3 และสังเกตได้ว่ากระแสบนแกนคิวนี้ค่า

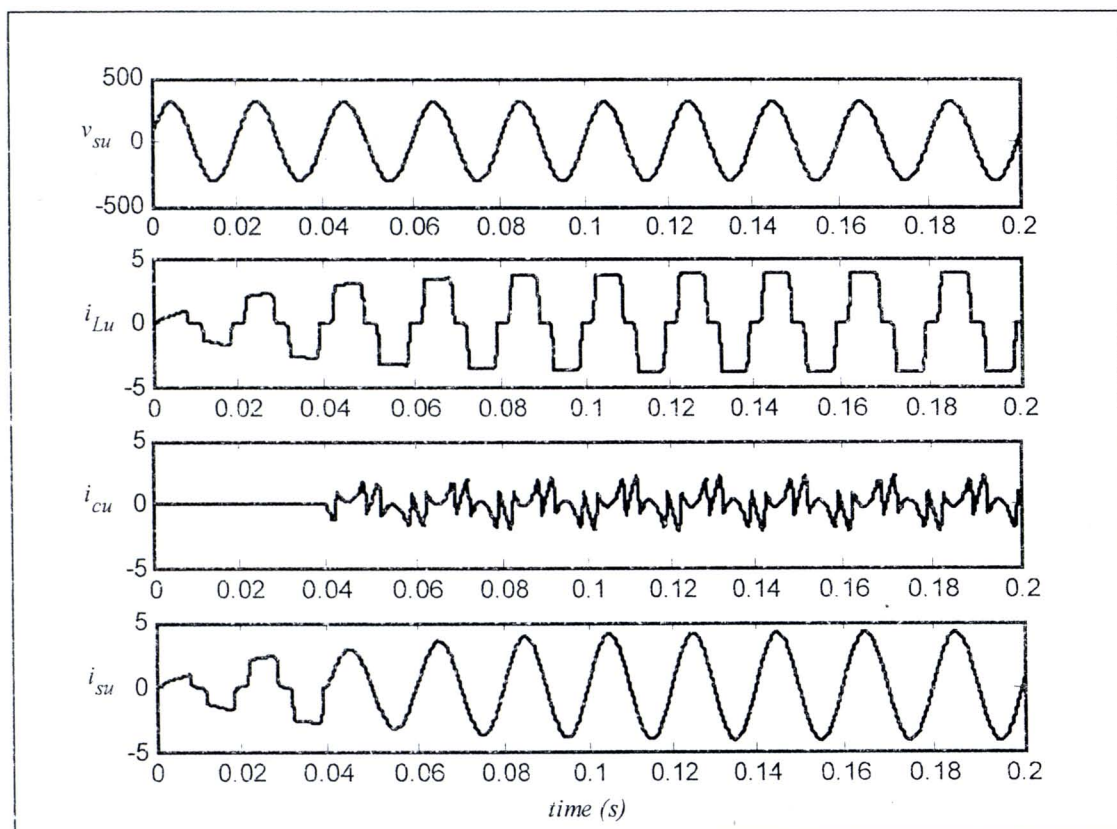
แอนเพลจูดค่าหนึ่งที่ความถี่ 0 เฮิรตซ์ ดังนั้น ปริมาณดังกล่าวจึงไม่ได้เกิดขึ้นจากผลกระทบของสาร์มอนิกในระบบ แต่เกิดขึ้นจากลักษณะการทำงานของโหลดไม่เป็นเชิงเส้น จึงปรากฏกำลังไฟฟ้ารีแอกทีฟในระบบ ดังสมการที่ (3-10) ส่งผลให้ปรากฏค่ากระแสที่ความถี่มูลฐานของระบบบนแกนคิว และค่าด้วยระบบกำลังไฟฟ้าต่ำลง ซึ่งหากยังคงนำ SWFA มาใช้แยกปริมาณมูลฐานออกจากปริมาณสาร์มอนิกอันดับอื่น ๆ บนแกนคิว จะไม่สามารถดึงค่ากระแสที่ความถี่มูลฐานของระบบบนแกนคิวไปพิจารณาเพื่อชดเชยค่ากำลังรีแอกทีฟได้ แนวทางหนึ่งที่ผู้วิจัยได้นำเสนอคือ การไม่พิจารณาใช้ SWFA บนแกนคิว ซึ่งจะทำให้ปริมาณบนแกนคิวทั้งหมด ประกอบด้วยปริมาณสาร์มอนิกทั้งหมดในระบบ และค่ากำลังไฟฟ้ารีแอกทีฟ ถูกนำมาวิเคราะห์ร่วมกับปริมาณบนแกนดี เพื่อเป็นสัญญาณอ้างอิงบนแกนดีคิวให้กับวงจรกรองกำลังรีแอกทีฟแบบบานานาสำหรับชดเชยกระแสสาร์มอนิกทั้งหมดในระบบ และชดเชยกำลังรีแอกทีฟให้กับระบบ โดยที่ภายหลังการชดเชย ดังรูปที่ 3.14 สรุปได้ว่า ไม่ปรากฏค่ากระแสบนแกนคิวที่ความถี่ 0 เฮิรตซ์ รวมถึงสาร์มอนิกที่อันดับอื่น ๆ ส่วนบนแกนดีซึ่งคงเหลือเฉพาะปริมาณที่ความถี่มูลฐานของระบบเท่านั้น ยิ่งไปกว่านั้นการตรวจจับสาร์มอนิกยังคงสามารถทำงานได้ผลดีเช่นเดิม



รูปที่ 3.14 สเปกตรัมของกระแสสาร์มอนิกลำดับต่าง ๆ บนแกนดีคิวภายหลังการชดเชย

ผลการจำลองสถานการณ์กรณีทดสอบการปรับปรุงสมรรถนะการตรวจจับสาร์มอนิกด้วยวิธี DQF ของเฟส n ในช่วงเวลาตั้งแต่ 0 วินาที ถึง 0.20 วินาที แสดงดังรูปที่ 3.15 ซึ่งสังเกตได้ว่า ในช่วงเวลาตั้งแต่ 0 วินาที ถึง 0.04 วินาที ยังไม่มีการฉีดกระแสชดเชยเข้าสู่ระบบ ทำให้รูป

สัญญาณกระแสไฟฟ้าที่เหล่งจ่ายมีลักษณะเหมือนกับรูปสัญญาณกระแสไฟฟ้าที่โหลด ต่อมานี้ ช่วงเวลาตั้งแต่ 0.04 ถึง 0.20 วินาที มีการนឹดกระแซดเฉยเข้าสู่ระบบ ทำให้รูปสัญญาณกระแส เชดเฉยเป็นไปตามรูปสัญญาณกระแสอ้างอิง ที่ได้จากการปรับปรุงการตรวจจับสาร์มอนิกด้วยวิธี DQF ดังนั้น รูปสัญญาณกระแสไฟฟ้าที่เหล่งจ่ายกำลังไฟฟ้าหลักจะมีลักษณะเป็นรูปสัญญาณไซน์มากขึ้น และเข้าสู่สภาวะคงตัวที่เวลาประมาณ 0.10 วินาที โดยภายในหลังจากเวลา 0.10 วินาทีรูป สัญญาณกระแส i_{su} จะเริ่มคงที่ที่ค่ากระแสสูงสุดประมาณ 4.24 A สำหรับค่า %THD ของ กระแสไฟฟ้าทางด้านเหล่งจ่ายกำลังไฟฟ้า ได้มีการเปรียบเทียบกับวิธี DQF แบบดังเดิมก่อนการ ปรับปรุงสมรรถนะ ตามตารางที่ 3.10



รูปที่ 3.15 ผลการจำลองสถานการณ์ของเฟส n กรณีปรับปรุงการตรวจจับสาร์มอนิกด้วยวิธี DQF

จากตารางที่ 3.10 สรุปได้ว่าภายในหลังการซัดเฉย ค่า %THD ของกระแสไฟฟ้าทางด้าน เหล่งจ่ายเฉลี่ยเท่ากับ 0.0246 เปอร์เซ็นต์ ในส่วนการซัดเฉยค่าตัว ประกอบกำลัง พบว่า ค่า pf_{dist} มีค่าเท่ากับ 1 อันเนื่องมาจากผลของค่า %THD_{av} ที่มีแนวโน้มลด น้อยลง ส่วนกรณีค่า pf_{disp} วิธี DQF ที่มีการปรับปรุงนี้สามารถซัดเฉยได้ โดยก่อนการซัดเฉยค่า

$p_{f_{\text{disp}}}$ ทั้งสามเฟส เท่ากับ 0.9800 และภายนอกการชดเชยมีค่า $p_{f_{\text{disp}}}$ ทั้งสามเฟสเท่ากับ 1 ส่งผลให้ค่า $p_{f_{\text{total}}}$ มีค่าเป็น 1 ตามตารางที่ 3.11 จากผลที่เกิดขึ้นแสดงให้เห็นว่า การปรับปรุงสมรรถนะการตรวจจับสารมอนิกด้วยวิธี DQF นอกจากจะสามารถสร้างกระแสอ้างอิงให้กับวงจรกรองกำลัง แยกทิฟเบนบนน้ำเพื่อกำจัดสารมอนิกในระบบ ได้เป็นอย่างดีแล้ว ยังสามารถชดเชยค่าตัวประกอบกำลังไฟฟ้าในระบบ ได้อย่างสมบูรณ์ ดังนั้นจึงสรุปได้ว่า การปรับปรุงการตรวจจับสารมอนิกด้วยวิธี DQF ให้สมรรถนะที่ดีต่อระบบที่ศึกษา ผู้วิจัยจึงเลือกการตรวจจับสารมอนิกด้วยวิธีดังกล่าว เพื่อใช้งานร่วมกับส่วนการควบคุมอื่น ๆ ในงานวิจัย

ตารางที่ 3.10 ค่า %THD ของกระแสไฟฟ้าทางด้านแหล่งจ่ายกำลังไฟฟ้าหลัก

กรณีมีการปรับปรุงการตรวจจับสารเคมีนิกด้วยวิธี DQF

เฟส	ค่า %THD ของกระแสไฟฟ้าทางด้านแหล่งจ่าย			
	ค่า %THD ก่อนการ ชดเชย	ค่า %THD หลังการชดเชย		
		กรณีใช้ SWFA แยกปริมาณ สาร์มอนิกบนแกนดีกิว	กรณีใช้ SWFA แยกปริมาณ สาร์มอนิกเฉพาะบนแกนดี	
<i>u</i>	24.42	0.0246		0.0246
<i>v</i>	24.42	0.0246		0.0246
<i>w</i>	24.42	0.0246		0.0246
เฉลี่ยทั้งสามเฟส	24.42	0.0246		0.0246

ตารางที่ 3.11 ผลการทดสอบสมรรถนะการชดเชยค่าตัวประกันกำลัง

กรณีมีการปรับปรุงการตรวจจับสารเคมีนิกด้วยวิธี DQF

3.8 สรุป

การตรวจจับชาร์มอนิกบันແກນດີຄວາມເປັນສ່ວນປະກອບທີ່ສໍາຄັນຂອງການພັດນາງຈຽກຮອງກໍາລັງແອກທີ່ສໍາຫຼວກການກໍາຈັດຫາຮ່ມອນິກໃນຮະບນ ເນື່ອຈາກເປັນການຄໍານວນກະຮແສອ້າງອີງ ຈຶ່ງສ່າງຜລໂດຍຕຽງຕ່ອງຮັບຮັບຄວນຄຸມກະຮແສ່ຈົດເຊຍ ກາກການຄໍານວນກະຮແສອ້າງອີງໃນສ່ວນນີ້ໄມ້ມີສົມຮຣດນະຫຼືອຄໍານວນພຶດພາດ ສ່ວນຕ່າງໆ ຂອງວຽກກີ່ຈະທຳການພຶດພາດດ້ວຍເຫັນກັນ ຂໍອົດຂອງການตรวจຈັດຫາຮ່ມອນິກທີ່ດີ ນອກຈາກນີ້ໂຄງຮ້າງການตรวจຈັດຫາຮ່ມອນິກຮອງຮັບກັບໂຄງຮ້າງການຄວນຄຸມກະຮແສ່ຈົດເຊຍບນແກນດີຄວາມ ຜົ່ງເປັນປະໂຍ້ນຍ່າງຍິ່ງໃນເຮືອກາລົດຂັ້ນຕອນການຄໍານວນ ອ່າງໄຮກີ່ຕາມ ໃນບໍ່ທີ່ຍັງໄດ້ນຳເສັນຄວາມຮູ້ເບື້ອງຕົ້ນເກີ່ຍກັບປະມານທາງໄຟຟ້າບນແກນດີຄວາມ ໃນການທັນທວນໄວ້ເປັນອົງຄ້ວາມຮູ້ສໍາຫຼວກຈານດ້ານການตรวจຈັດຫາຮ່ມອນິກບນແກນດີຄວາມ ສໍາຫຼວກໃຫ້ພັດນາຕ່ອຍອດອອກຕ່າງໆກ່າວເພື່ອຫາແນວທາງ ແລະ ວິທີການທີ່ຈະເພີ່ມປຶດຄວາມສາມາດໃນການตรวจຈັດຫາຮ່ມອນິກບນແກນດີຄວາມໃຫ້ດີຍິ່ງຂຶ້ນ ຜົ່ງພົດກາຣທົດສອບ ພວຍວ່າ ກາຣແກບປະມານຫາຮ່ມອນິກ ດ້ວຍ SWFA ເລີ່ມະບນແກນດີ ສາມາດສ້າງກະຮແສອ້າງອີງໃຫ້ວຽກຮອງກໍາລັງແອກທີ່ໄຟຟ້າບນ ໄກສົມຮຣດນະໃນການກໍາຈັດຫາຮ່ມອນິກ ແລະ ມີສົມຮຣດນະໃນການຮັດເຊຍຄ່າຕົວປະກອບກໍາລັງດີທີ່ສຸດ

ສໍາຫຼວກຈານວິຈີຍໃນບໍ່ທີ່ 3 ການตรวจຈັດຫາຮ່ມອນິກບນແກນດີຄວາມສໍາຫຼວກຈຽກຮອງກໍາລັງແອກທີ່ໄຟຟ້າບນ ໄດ້ຮັບກາຣຕີພິນພົມ ແລະ ອູ້ໃນຮ່າງຍື່ນຈົດລິຫສິຫຼືດັ່ງນີ້

- P. Santiprapan and K-L. Areerak, "Performance Improvement of Harmonic Detection using Synchronous Reference Frame Method", 2010 International Conference on Advances in Energy Engineering (ICAEE 2010), Beijing, China, 19-20 June 2010, pp. 52-55.

- ກອງພລ ອາວີຮັກໝໍ ແລະ ພລສິຫຼືດີ ສານຕີປະປັນຫຼີ, "ບລື້ອກການตรวจຈັດຫາຮ່ມອນິກດີວິທີກຣອບອ້າງອີງໃໝ່ໂຄຣນັສສໍາຫຼວກໄປໂປຣແກຣມ SIMULINK", 2 ພຸລືຈິກາຍນ 2554, ເລກທີ່ຄໍາຂອ 266182

- ພລສິຫຼືດີ ສານຕີປະປັນຫຼີ, ກອງພລ ອາວີຮັກໝໍ ແລະ ກອງພັນ ອາວີຮັກໝໍ, "ການตรวจຈັດຫາຮ່ມອນິກບນແກນດີຄວາມສໍາຫຼວກຈຽກຮອງກໍາລັງແອກທີ່ໄຟຟ້າບນ", ການປະຈຸບັນນຳເສັນອພລາງວິຈີຍບັນທຶດສຶກໝາ ປີກາຣສຶກໝາ 2554, ມາວິທາລ້າຍຫອກກາຣຄ້າໄທ, 7 ຕຸລາຄມ 2554, ໜ້າ 1207-1219.